

8790

ОБЪЕДИНЕННЫЙ  
ИНСТИТУТ  
ЯДЕРНЫХ  
ИССЛЕДОВАНИЙ  
ДУБНА



4/6III-75

B-191

P13 - 8790

Б.В.Васильев, В.В.Данилов, К.К.Лихарев

2822/2-75

О ФОРМЕ СИГНАЛА СВЕРХПРОВОДЯЩЕГО  
КВАНТОВОГО ИНТЕРФЕРОМЕТРА  
В ГИСТЕРЕЗИСНОМ РЕЖИМЕ

**1975**

P13 - 8790

Б.В.Васильев, В.В.Данилов, К.К.Лихарев

О ФОРМЕ СИГНАЛА СВЕРХПРОВОДЯЩЕГО  
КВАНОВОГО ИНТЕРФЕРОМЕТРА  
В ГИСТЕРЕЗИСНОМ РЕЖИМЕ

Направлено в ЖТФ

## 1. Введение

Сверхпроводящие квантовые интерферометры, в которых чувствительными элементами служат сверхпроводящие квантовые интерферометрические датчики – СКВИДы – /1,2/, используются в основном в гистерезисном режиме. Этот режим реализуется, когда основной параметр СКВИДа  $\ell = 2\pi \frac{L_R I_0}{\Phi_0}$  больше единицы.

Здесь  $\Phi_0 = h/2e \approx 2 \cdot 10^{-15}$  В $\delta$  – квант магнитного потока;  $L_R$ ,  $I_0$  – индуктивность и критический ток СКВИДа.

При обычных условиях работы /2–4/ зависимость амплитуды колебаний напряжения на контуре  $V(t) = -A \cos(\omega t + \theta)$  от внешнего магнитного потока  $\Phi_e$  (при фиксированном уровне накачки) имеет треугольную (или трапециевидную) форму /1–5/ .

Однако оказывается /5/, что в области больших отрицательных расстроек  $\xi_0$  сигнал  $A(\Phi_e)$ , в отличие от обычной треугольной формы (рис.1б), может иметь форму "прямоугольников" (рис.1в). Здесь  $\xi_0 = \frac{\omega - \omega_k}{\omega}$  – расстройка частоты накачки  $\omega$  от собственной частоты контура  $\omega_k$ .

Целью настоящей работы является анализ зависимости формы сигнала интерферометра  $A(\Phi_e)$  от величины и знака расстройки  $\xi_0$ . При этом в рамках общей теории интерферометра /5/, применимой при любых  $\ell$  и  $\xi_0$ , рассчитываются условия перехода от треугольной формы сигнала к прямоугольной при больших значениях параметра  $\ell$  .

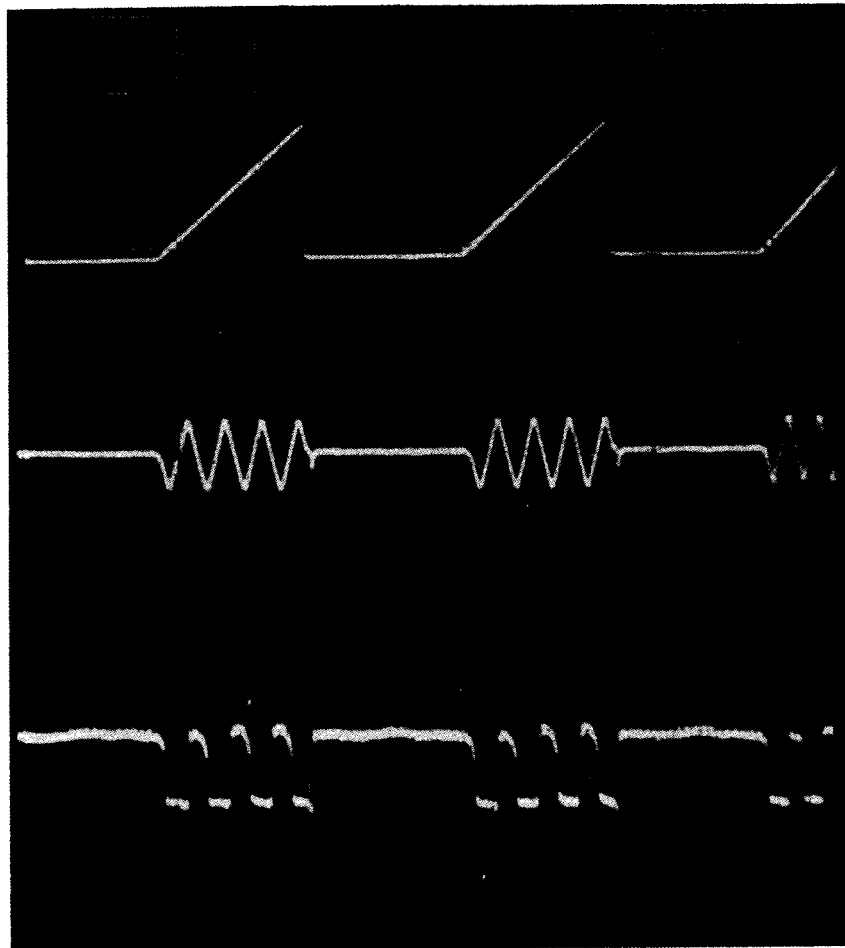


Рис.1. Форма сигнала интерферометра  $A(\Phi_e)$  в экспериментах с положительной расстройкой  $\xi_0$  (б) и большой отрицательной расстройкой (в) при пилообразном изменении потока смешения  $\Phi_e$  (а).

## 2. Основные уравнения работы интерферометра

Важным элементом квантового интерферометра с одноконтактным СКВИДом является индуктивно связанный с датчиком колебательный контур<sup>1-5</sup>. Путем совместного решения уравнений, описывающих колебания в контуре  $V(t)$  и ток  $I_R(t, V)$  в СКВИДе, можно проанализировать работу интерферометра при любых значениях параметров (например,  $\ell$  и  $\xi_0$ ). Заметим, что экспериментально обычно <sup>2,3,5</sup> используются интерферометры с добротностью колебательного контура  $Q \gg 1$  и коэффициентом связи СКВИДа с контуром  $k < 1^*$ . Использование этих условий ( $Q \gg 1$ ,  $k^2 \ll 1$ ) позволяет при решении системы уравнений, определяющих работу интерферометра, ограничиться учетом только первых членов фурье-разложения величин  $V(t)$  и  $I_R(t)$  (приближение гармонического баланса). В этом случае алгебраическое уравнение, определяющее амплитуду колебаний в контуре, имеет в безразмерных обозначениях следующий вид:

$$(\epsilon / 2)^2 = (\delta \cdot a)^2 + (\xi \cdot a)^2 . \quad (1)$$

Здесь  $a = 2\pi k(L_R/L_k)^{1/2} (\omega \cdot \Phi_0)^{-1} A$  – приведенная величина амплитуды колебаний напряжения на контуре,  $L_k$  – индуктивность контура,  $\epsilon$  – приведенная величина амплитуды колебаний источника накачки,  $\delta$  – величина эффективного затухания колебаний в контуре,  $\xi$  – величина эффективной расстройки.

$$\delta = \delta_0 - \frac{k^2 \ell}{2} \frac{i_{R_s}}{a} ; \quad \delta_0 = (2Q)^{-1} ; \quad (2)$$

$$\xi = \xi_0 - \frac{k^2 \ell}{2} \frac{i_{R_c}}{a} , \quad (3)$$

---

\* Эти условия являются наиболее выгодными с экспериментальной точки зрения, т.к. в соответствии с <sup>4/</sup> амплитуда сигнала возрастает с увеличением  $Q$  при выполнении условия оптимизации  $k^2 Q = 1$ .

где  $i_{Rs}$ ,  $i_{Rc}$  – амплитуды первых синусной и косинусной гармоник тока  $I_R$ , нормированного на критический ток слабого контакта  $I_0$ .

Ток  $i_R = I_R / I_0$  может быть найден из уравнения для потоков в СКВИДЕ, которое в обычной резистивной модели записывается в виде

$$i_R = \sin \phi + \Omega \dot{\phi} = \frac{a \cdot \cos \tau + \phi_e - \phi}{\ell}. \quad (4)$$

Здесь дифференцирование проводится по безразмерному времени  $\tau = \omega t$  и введены следующие обозначения:  $\phi = 2\pi(\Phi/\Phi_0)$  и  $\phi_e = 2\pi(\Phi_e/\Phi_0)$  – приведенные величины потока в СКВИДЕ  $\Phi$  и внешнего постоянного потока смещения  $\Phi_e$ ;  $\Omega = \omega / \omega_0$ , где  $\omega_0 = 2\pi \frac{I_0 R}{\Phi_0}$  – характерная частота контакта,  $R$  – его нормальное сопротивление.

Совместное решение уравнений (1) и (4) позволяет найти зависимость формы сигнала  $a(\phi_e)$  от величины расстройки  $\xi_0$  при любых значениях параметра  $\ell$ . Например, используя (1) и (4), можно получить выражение для формы сигнала в безгистерезисном режиме для случая  $\ell \ll 1^{1/5,6}$ .

### 3. Процессы, определяющие форму сигнала интерферометра

Зависимость амплитуды колебаний напряжения в контуре  $a(\phi_e)$  от внешнего магнитного потока  $\phi_e$  в гистерезисном ( $\ell > 1$ ) режиме работы интерферометра обусловлена возникновением в СКВИДЕ скачков потока и влиянием этих скачков на процессы в контуре. Скачки потока происходят, когда амплитудное значение суммарного магнитного потока  $(\phi_e + a)$ , приложенного к СКВИДу, достигает порогового значения  $\phi_N^*$ , при котором ток через контакт становится равным критическому  $1^{1/5}$ . Такое состояние СКВИДа является неустойчивым, и происходит скачкообразное проникновение в него потока. Вследствие квантования поток в СКВИДЕ меняется на один квант, при этом ток в нем соответственно уменьшается и состояние СКВИДа в заданном поле становится устойчивым.

Ограничимся в дальнейшем рассмотрением лишь первого скачка в СКВИДЕ, точнее, первой пары скачков: скачка в новое состояние и обратно. Первый скачок ( $N=1$ ) происходит при значении амплитуды колебаний в контуре, равном  $a_1$ :

$$|\phi_e| + a_1 = \phi_1^* = \sqrt{\ell^2 - 1 + \arccos(-1/\ell)}. \quad (5)$$

При этом ввиду периодичности зависимости тока в СКВИДЕ  $i_R$  от внешнего потока  $\phi_e$  с периодом по  $\phi_e$ , равным  $2\pi/1^{1/5}$ , в формуле (5)  $|\phi_e| \leq \pi$ .

Появление скачков в СКВИДЕ приводит к изменению значений  $i_{Rs}$ ,  $i_{Rc}$  соответственно на величины  $\Delta i_{Rs}$  и  $\Delta i_{Rc}$ . Физически это означает, что скачки потока в СКВИДЕ вызывают дополнительную диссипацию энергии (т.е. увеличивают эффективное затухание (2), так как  $\Delta i_{Rs} < 0$ ), а также вносят положительный вклад в эффективную расстройку (3), т.к.  $\Delta i_{Rc} < 0$ .

Таким образом, возникновение скачков в СКВИДЕ изменяет эффективный импеданс контура  $Z = \delta + j\xi$ , причем это изменение зависит от значения внешнего магнитного потока  $\phi_e$ . Это приводит к появлению зависимости  $a(\phi_e)$ , так как из уравнения (1) следует, что  $a \sim |\delta + j\xi|^{-1}$ . Представляется удобным провести качественное исследование формы сигнала  $a(\phi_e)$ , используя построения на комплексной плоскости эффективного последовательного импеданса колебательного контура (рис.2).

При положительных и небольших отрицательных расстройках  $\xi$  (рис.2а) скачки потока в СКВИДЕ ведут к увеличению модуля импеданса контура. При этом источник накачки становится недостаточно эффективным для поддержания прежней амплитуды колебаний, при которой произошел скачок. Вследствие этого скачки потока в СКВИДЕ происходят не в каждом периоде радиочастотных колебаний. При увеличении амплитуды колебаний источника накачки  $\epsilon$  (при постоянном  $\phi_e$ ) скачки потока в СКВИДЕ происходят чаще, однако амплитуда колебаний в контуре не превышает порогового значения, определяемого условием (5). При достаточной величине накачки  $\epsilon$

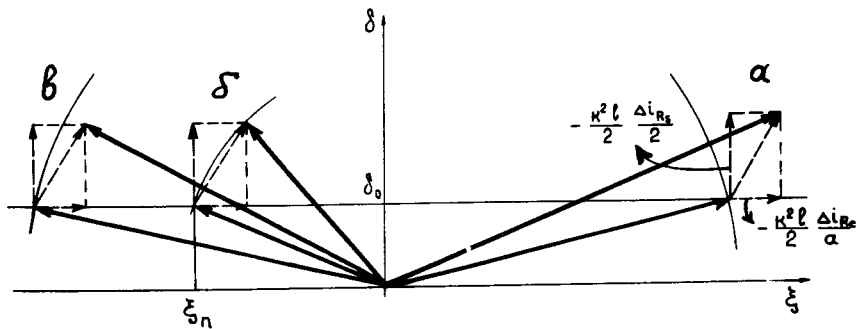
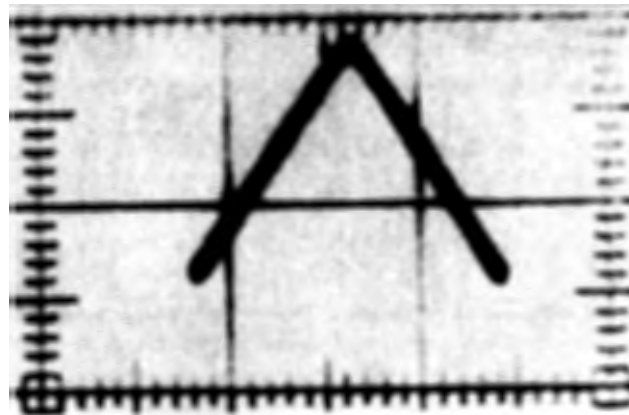


Рис.2. Эффективный комплексный импеданс колебательного контура со СКВИДом при положительном значении расстройки  $\xi_0$  (а), при большом отрицательном значении расстройки  $\xi_0$  (в) и при пороговом значении расстройки  $\xi_0 = \xi_p$  (б). Тонкие одинарные стрелки – импеданс без скачков в СКВИДе, двойные – при скачке в каждом периоде колебаний.

скачки потока происходят в каждом периоде РЧ-колебаний и амплитуда колебаний  $a$  начинает расти при дальнейшем увеличении  $\epsilon$  вплоть до возникновения следующей пары скачков. Наличие такой зависимости  $a(\epsilon)$ , имеющей вид чередующихся плато и подъемов, приводит /1-5/ к обычной треугольной форме сигнала  $a(\phi_e)$  (рис.1б, 3а). Это следует, в частности, из условия (5), которое дает линейную зависимость  $a_1(\phi_e)$  с периодом по  $\phi_e$ , равным  $2\pi$ , при условии, что отклонения амплитуды  $\Delta a$  от порогового значения малы ( $\Delta a/a \sim k^2 \ll 1$ ) .

В случае больших отрицательных расстроек появление скачков в СКВИДе может приводить к уменьшению модуля эффективного импеданса контура (рис.2в). При



а)



б)

Рис.3. Поведение сигнала интерферометра А( $\Phi_e$ ) при синусоидальном изменении потока смещения  $\Phi_e$  и синхронной развертке в экспериментах с положительным (а) и большим отрицательным (б) значением расстройки  $\xi_0$  .

этом процессы дополнительной диссипации (при скачках) в СКВИДе перекомпенсируются уменьшением модуля эффективной расстройки  $\xi$ . Поэтому после возникновения первых скачков произойдет резкое увеличение амплитуды радиочастотных колебаний в контуре,

причем скачки (одна или несколько пар) будут происходить теперь каждый период колебаний. Таким образом, при отрицательных расстройках, больших некоторой пороговой, на зависимости  $a(\phi_e)$  появляются "скачки" ("прямоугольная" форма сигнала на рис. 1в).

Следует отметить, что резкое увеличение амплитуды колебаний в контуре при возникновении скачков в СКВИДе соответствует резкому увеличению амплитуды радиочастотного потока, приложенного к СКВИДу, при неизменном внешнем потоке смещения  $\phi_e$ . Поэтому для возвращения на нижний уровень амплитуды колебаний в контуре (т.е. для прекращения скачков) нужно приложить к СКВИДу некоторый отличный от нуля дополнительный поток смещения  $\Delta\phi_e < 0$ .

Следовательно, зависимость  $a(\phi_e)$  будет иметь для сигнала прямоугольной формы гистерезисный характер (рис.3б) – в отличие от обратимого поведения  $a(\phi_e)$  для сигнала треугольной формы (рис.3а). Этот эффект затрудняет непосредственное использование в эксперименте участков с большой крутизной на характеристике  $a(\phi_e)$  с целью повышения чувствительности интерферометра  $y = |dA/d\Phi_e|$ .

#### 4. Вычисление пороговой расстройки

Использование уравнений (1) и (4) позволяет вычислить пороговое значение расстройки  $\xi_{\Pi}$  (рис.2б), которое определяет границу между режимами с треугольной формой сигнала ( $\xi > \xi_{\Pi}$ ) и режимами, в которых форма сигнала становится прямоугольной ( $\xi < \xi_{\Pi}$ ). В качестве примера рассмотрим случай  $\ell \gg 1$ ,  $\Omega \ll \ell^{-1/2}$  (6) и, как ранее, ограничимся рассмотрением лишь первого скачка в СКВИДе. Условие  $\Omega \ll \ell^{-1/2}$ , как будет показано ниже, позволяет при вычислении  $\xi_{\Pi}$  считать скачок потока в СКВИДе практически мгновенным (фактически скачок происходит за время  $\Delta\tau$  порядка  $\Omega^{1/2}$ ).

Учитывая условия (6), опустим в выражении (4) для тока  $i_R$  члены, содержащие  $\ell^{-1}$  и  $\Omega$  (заметим, что  $a \sim \ell$ ,  $|\phi_e| < \pi$ ). Это позволяет получить главный член

разложения  $\phi$  по степеням малых параметров  $\ell^{-1}$  и  $\Omega$  в виде:

$$\begin{aligned} \frac{\pi}{2} - \tau, & \quad \tau_1 < \tau \leq \tau_2, \\ \phi \approx -\frac{3\pi}{2} - \tau, & \quad \tau_2 < \tau \leq \pi, \\ -\frac{7\pi}{2} + \tau, & \quad \pi < \tau \leq 2\pi + \tau_1. \end{aligned} \quad (7)$$

Заметим, что выражение (7) для  $\phi$  в нашем приближении отличается от значений  $\phi$  в пороговой модели (например, /3/) лишь наличием наклонных, а не горизонтальных, участков на зависимости  $\phi$  от приведенного значения  $\phi_x = 2\pi(\Phi_x/\Phi_0)$  суммарного внешнего потока  $\Phi_x$ , действующего на СКВИД (у нас  $\phi_x = \phi_e + a \cdot \cos \tau$ ). В пороговой модели точная зависимость величины сверхпроводящего тока  $i_s$  через контакт от значения  $\phi$  несущественна, и принимается, что при  $\phi_x$ , меньших некоторого порогового значения  $\phi_{x\Pi}$ , СКВИД полностью диамагнитен, а при  $\phi_x = \phi_{x\Pi}$  происходит скачок потока в СКВИДе на  $\Delta\phi = 2\pi$ . В нашем приближении надо принять  $\phi_{x\Pi}$  равным  $\phi_1 \approx \ell + \pi/2$ , причем скачки потока происходят при  $\tau = \tau_1$  и  $\tau = \tau_2$ , где

$$\phi_e + a \cdot \cos \tau_1 = \phi_1; \quad \phi_e + a \cdot \cos \tau_2 = -\phi_1 + 2\pi. \quad (8)$$

При увеличении амплитуды колебаний скачки начинаются при  $\tau_1 = 0$ , тогда  $\tau_2 = \pi - 2\sqrt{\pi - |\phi_e|}/\sqrt{\ell}$ .

Используя (4) и (7), можем теперь найти выражения для  $i_{Rs}$  и  $i_{Rc}$ :

$$i_{Rs} = \frac{1}{\pi} \int_0^{2\pi} \frac{\phi_e + a \cdot \cos \tau - \phi}{\ell} \sin \tau \cdot d\tau = -4/\ell, \quad (9)$$

$$i_{Rc} = \frac{1}{\pi} \int_0^{2\pi} \frac{\phi_e + a \cdot \cos \tau - \phi}{\ell} \cos \tau \cdot d\tau = \left( \frac{a}{\ell} - \frac{4}{\pi \ell} \right) - \frac{4\sqrt{\pi - |\phi_e|}}{\ell^{3/2}}.$$

Как видно из (9), изменения  $\Delta i_{Rs}$  и  $\Delta i_{Rc}$  при появлении скачков в СКВИДе равны

$$\Delta i_{Rs} = i_{Rs} = -4/\ell ; \quad \Delta i_{Rc} = -\frac{4\sqrt{\pi - |\phi_e|}}{\ell^{3/2}}. \quad (10)$$

Нетрудно показать, что, используя пороговую модель, мы пришли бы к тем же результатам для  $\Delta i_{Rs}$  и  $\Delta i_{Rc}$ .

Учет времени скачка  $\Delta\tau \sim \Omega$  приведет к появлению в выражениях (8) для  $\tau_1$  и  $\tau_2$  добавочных членов порядка  $\Omega$ , а это скажется на величинах  $\Delta i_{Rs}$  и  $\Delta i_{Rc}$  лишь при  $\Omega \sim \ell^{-1/2}$ , что и было использовано выше при введении ограничений (6).

Далее, из уравнения (1) и выражений (2,3,10) следует, что относительные приращения ( $\Delta a/a$ ) амплитуды колебаний в контуре при возникновении скачков в СКВИДе малы, именно:

$$(\Delta a/a) \sim (k^2 Q) \cdot \Delta i_{Rs} \sim \Delta i_{Rs} \ll 1, \quad (11)$$

так как мы рассматриваем режим работы интерферометра, близкий к оптимальному ( $k^2 Q \sim 1$ ). Это позволяет принять в качестве  $\xi_{\Pi}$  такое значение расстройки  $\xi$ , при котором приращение импеданса направлено по касательной к окружности постоянного модуля импеданса (рис.2б). При этом величина пороговой расстройки  $\xi_{\Pi}$  определяется следующим выражением:

$$\xi_{\Pi}/\delta_0 \approx -|\frac{\Delta i_{Rs}}{\Delta i_{Rc}}|, \quad (12)$$

которое в нашем случае дает значение  $\xi_{\Pi}$ , равное

$$\xi_{\Pi} = -\delta_0 \frac{\sqrt{\ell}}{\sqrt{\pi - |\phi_e|}}. \quad (13)$$

Выражение (13) справедливо лишь при  $(\pi - |\phi_e|) \gg \ell^{-1}$ , в противном случае при вычислении  $i_{Rc}$ ,  $i_{Rs}$  нужно учитывать, помимо (7), следующие члены в разложении выражения для  $\phi$ .

Величина пороговой расстройки  $\xi_{\Pi}$ , определяемая выражением (13), качественно согласуется с экспериментом.

## 5. Заключение

Проведенное исследование прямоугольной формы сигнала интерферометра (в области больших отрицательных расстроек) показывает, что особенностью этого сигнала  $A(\Phi_e)$  на низких рабочих частотах ( $\Omega \ll 1$ ) является наличие гистерезиса. Это, как было отмечено выше, не позволяет простым способом использовать участки с большой крутизной  $y = |dA/d\Phi_e|$  для повышения чувствительности интерферометра. Так как наличие двух четко выраженных скачков в СКВИДе является причиной гистерезисного вида исследованной прямоугольной формы сигнала  $A(\Phi_e)$ , то представляется интересным исследование режима высоких рабочих частот  $\Omega \lesssim 1$ , при котором время скачка сравнимо с периодом колебаний в контуре. Возможно, этот режим позволит получить увеличение эффективной крутизны характеристики  $A(\Phi_e)$  и соответствующее повышение чувствительности интерферометра.

## Литература

1. J.Clarke. PIEEE, 61, 7 (1973).  
Дж. Кларк. ТИИЭР, 61, 9 (1973).
2. J.M.Giffard, R.A.Webb, J.C.Wheatley, J.Low Temp.Phys. 6, 533 (1972).
3. H.Simmonds,W.Parker.J.Appl.Phys., 42, 38 (1971).
4. Б.В.Васильев, А.И.Иваненко, В.Н.Трофимов.  
Препринт ОИЯИ, Р13-7429, Дубна, 1973.
5. Б.В.Васильев, В.В.Данилов, К.К.Лихарев. Препринт ОИЯИ, Р13-8233, Дубна, 1974.
6. P.K.Hansma.J.Appl.Phys., 44, 4191 (1973).
7. J.E.Mercereau.Rev.Phys.Appl., 5, 13(1970).

Рукопись поступила в издательский отдел  
14 апреля 1975 года